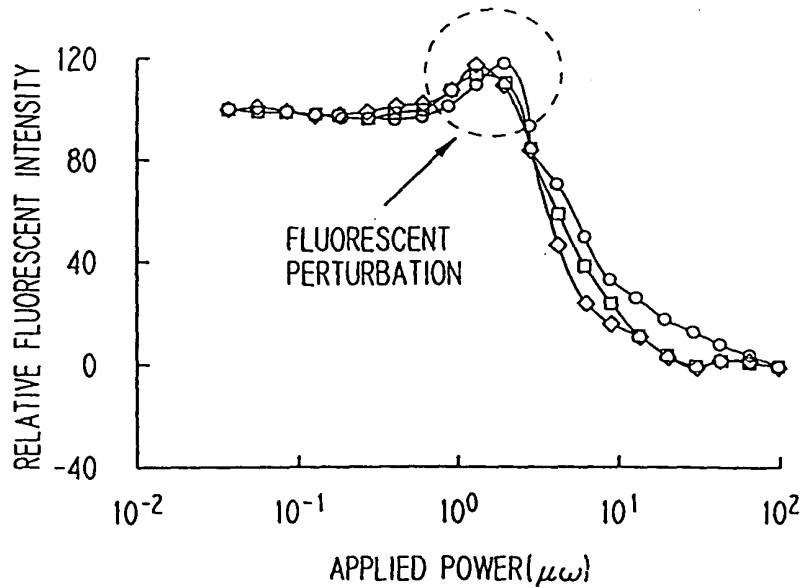


*FIG. 1A*



*FIG. 1B*

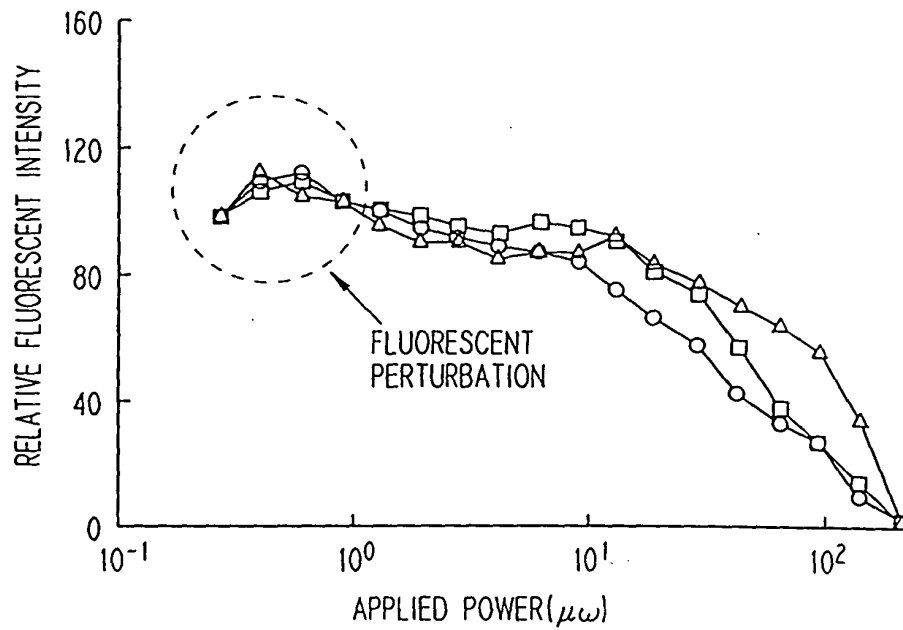


FIG. 2A

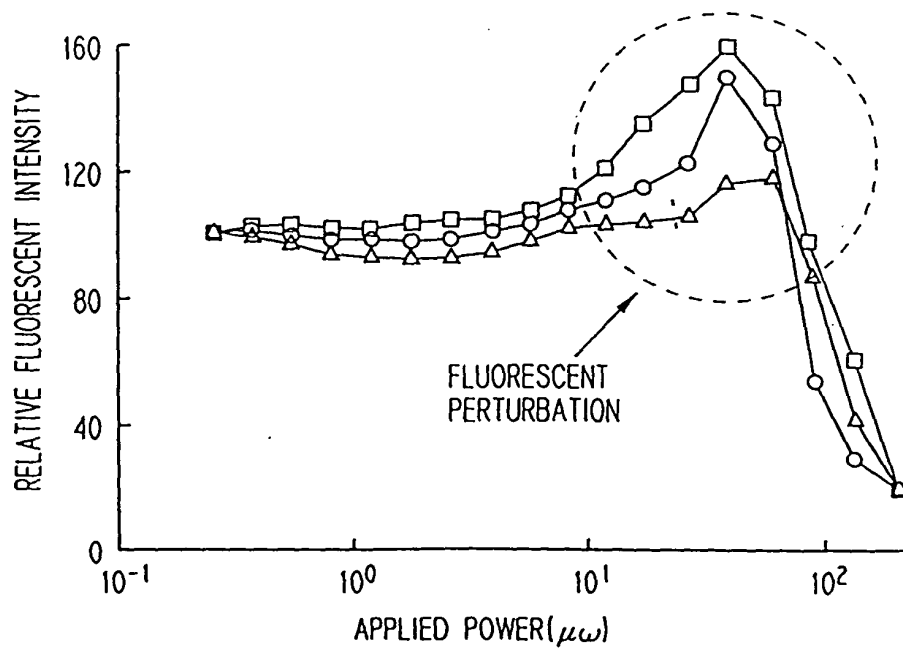


FIG. 2B

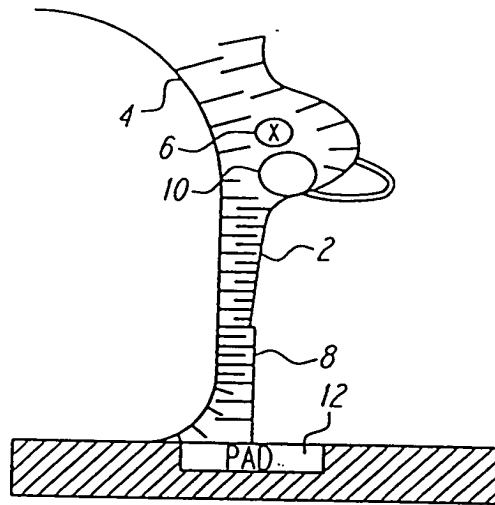


FIG. 3A

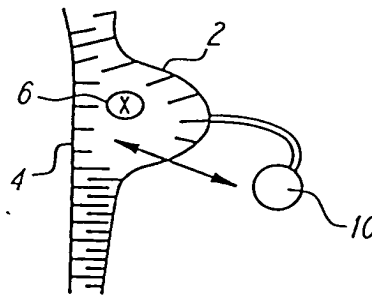


FIG. 3B

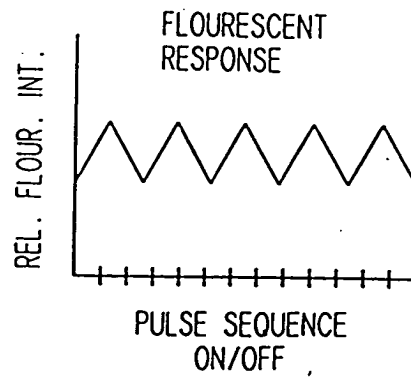


FIG. 3C

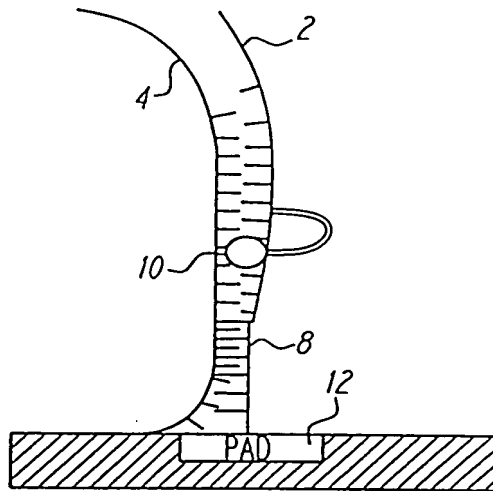


FIG. 4A

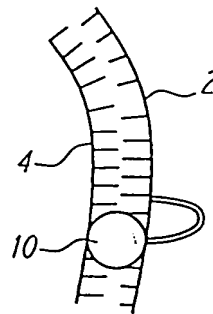


FIG. 4B

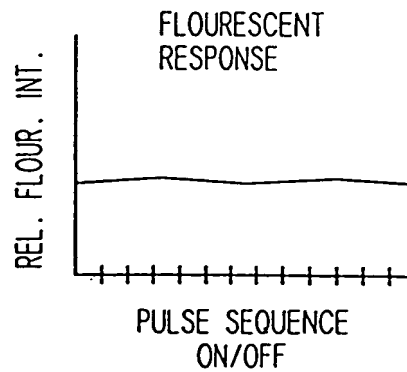


FIG. 4C

RAS G 22MERS

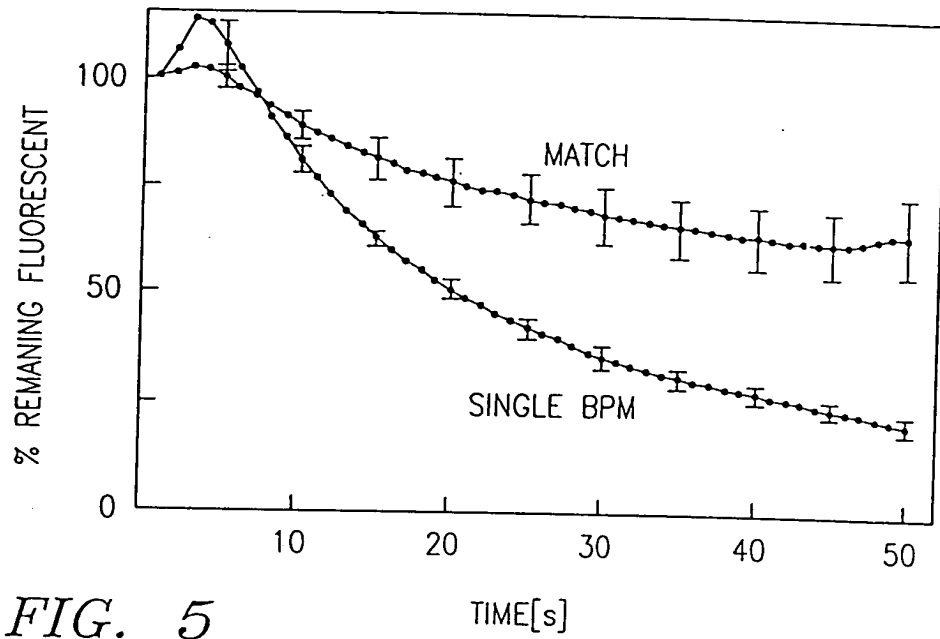


FIG. 5

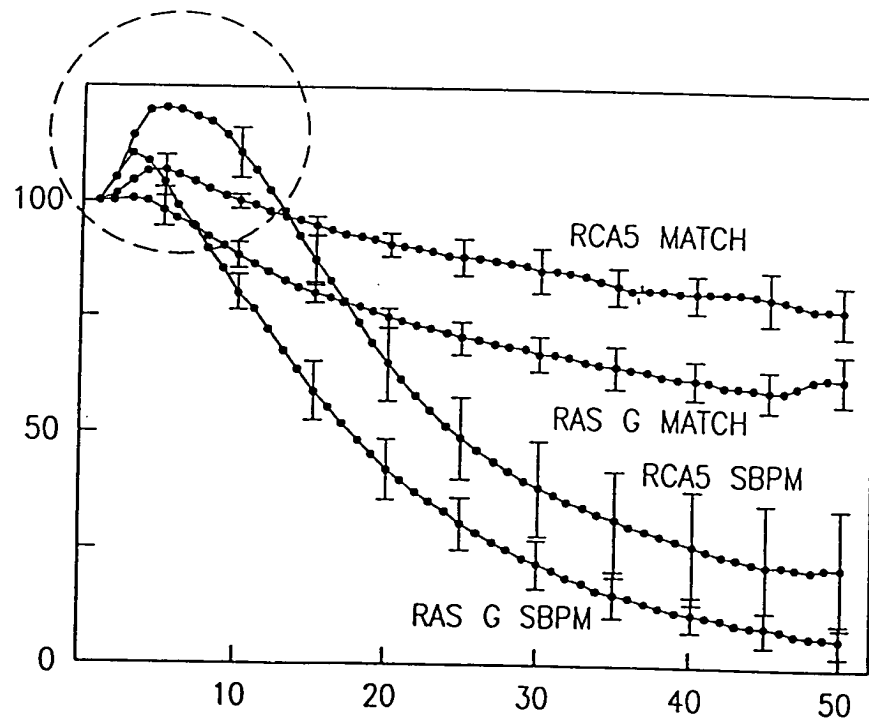


FIG. 6

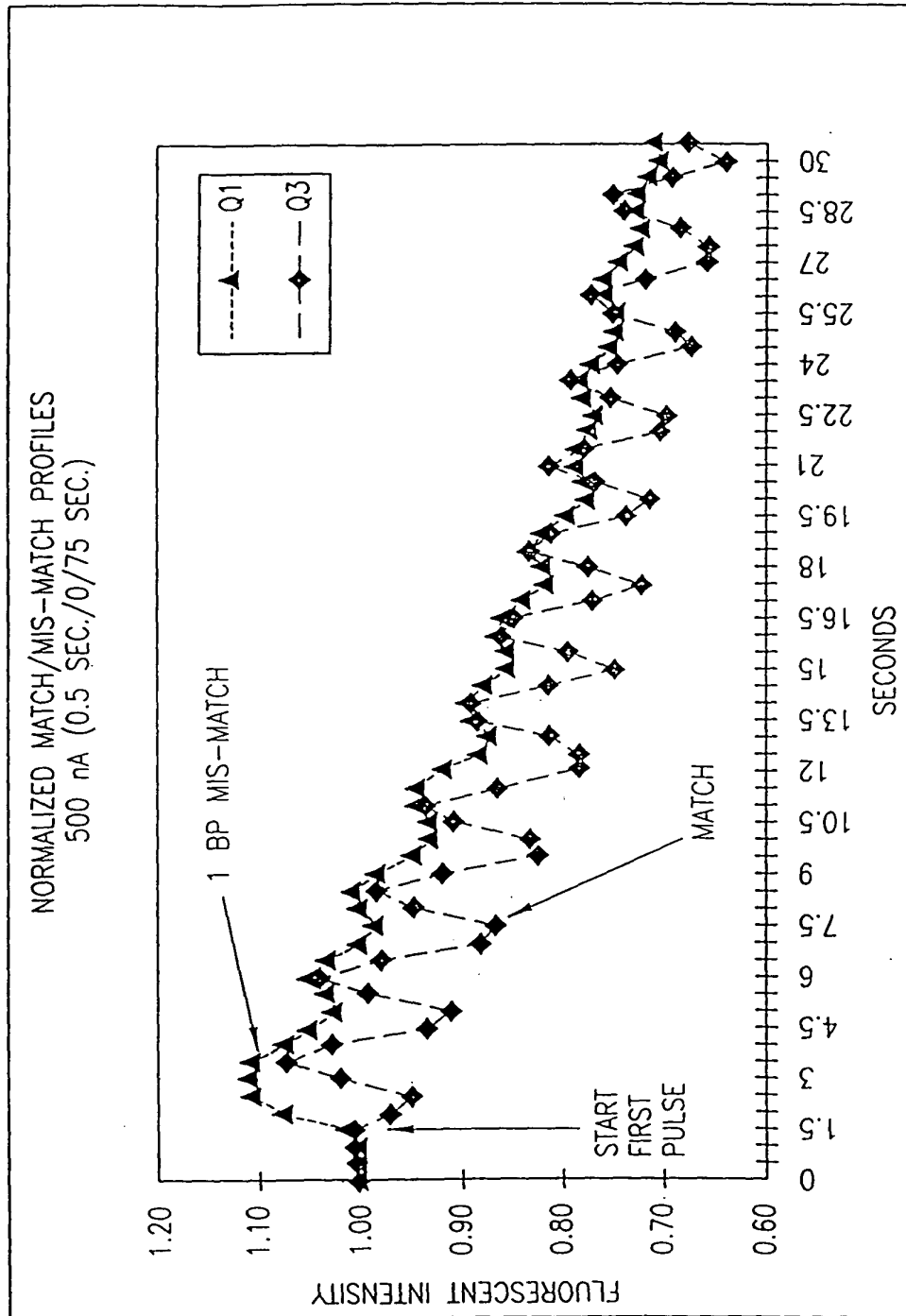


FIG. 7A

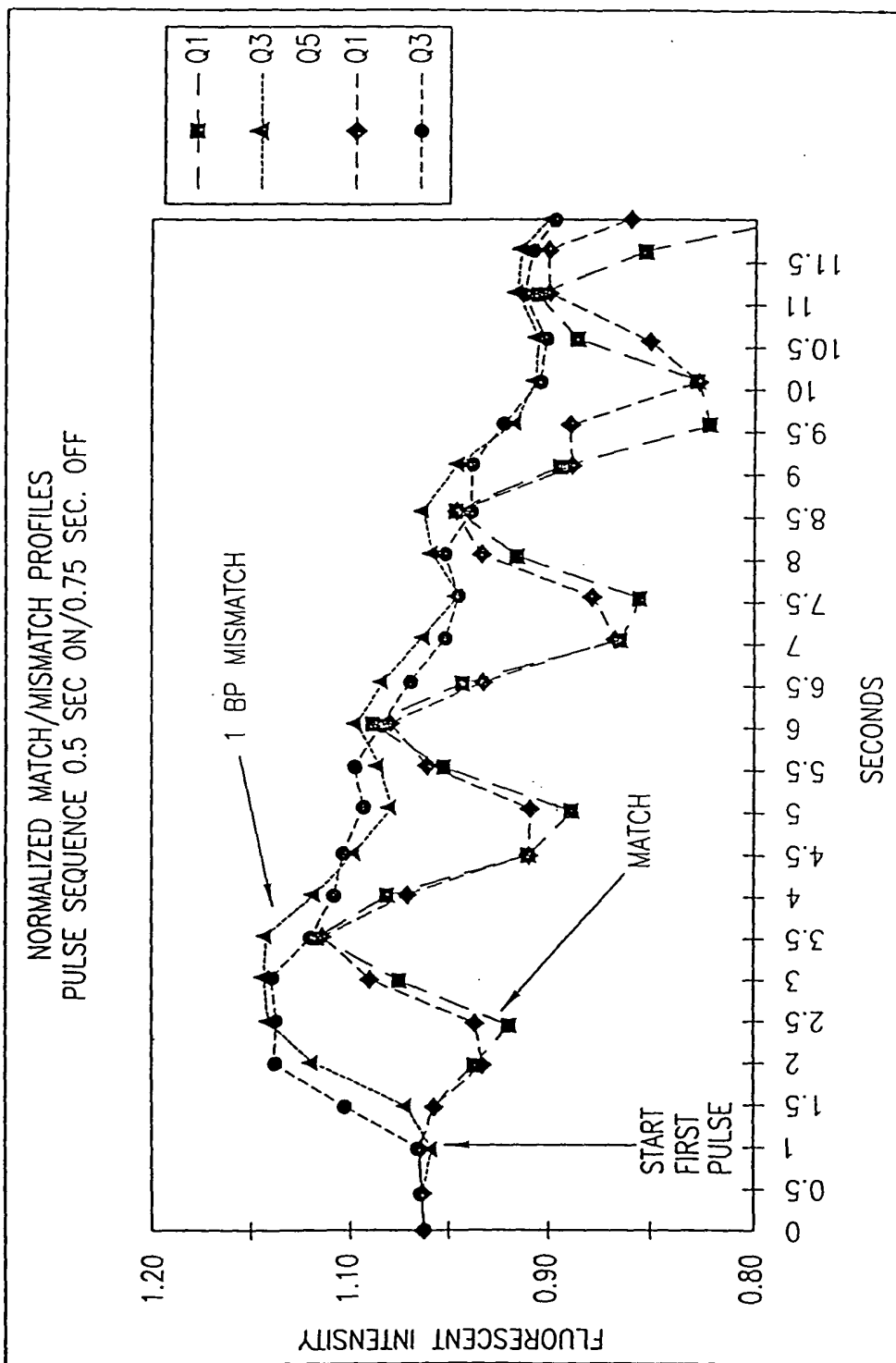


FIG. 7B

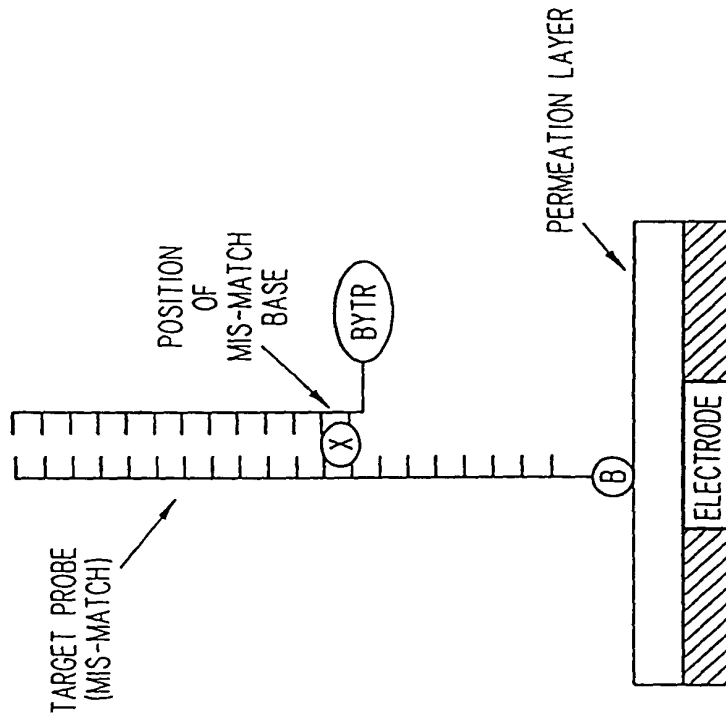


FIG. 8B

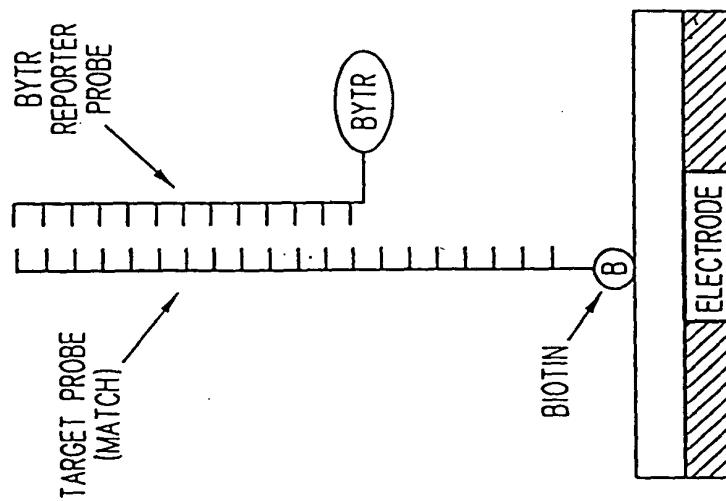


FIG. 8A



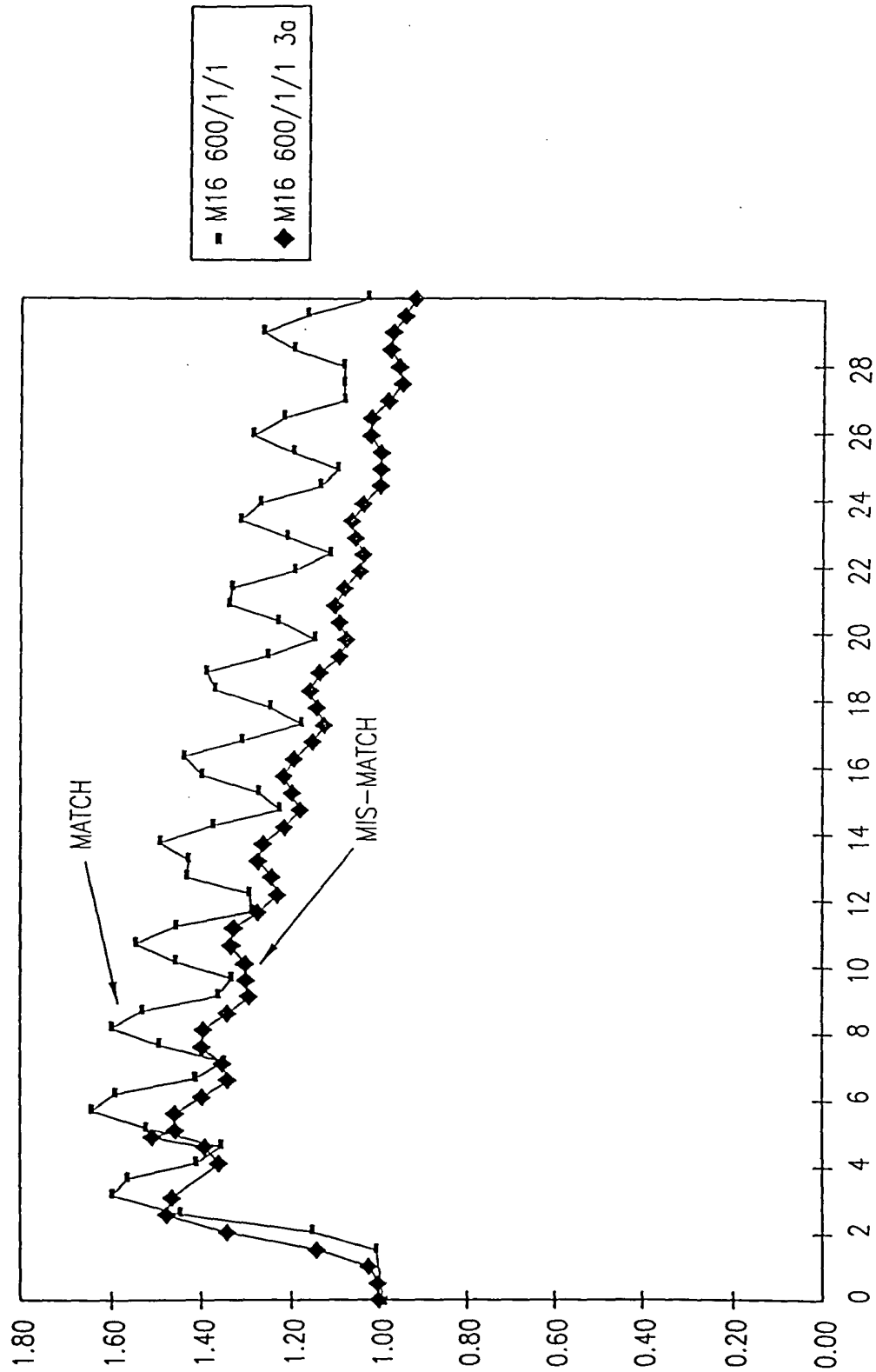


FIG. 9

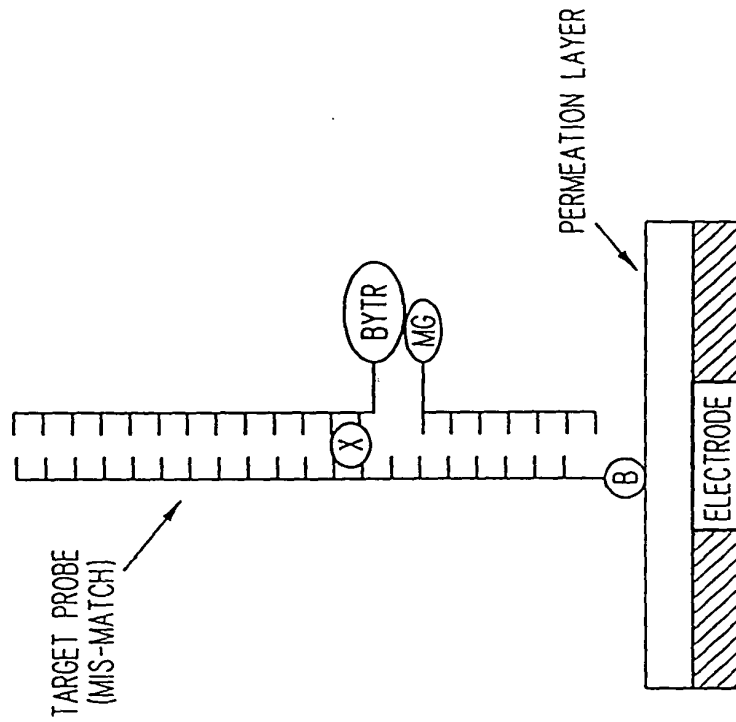


FIG. 10B

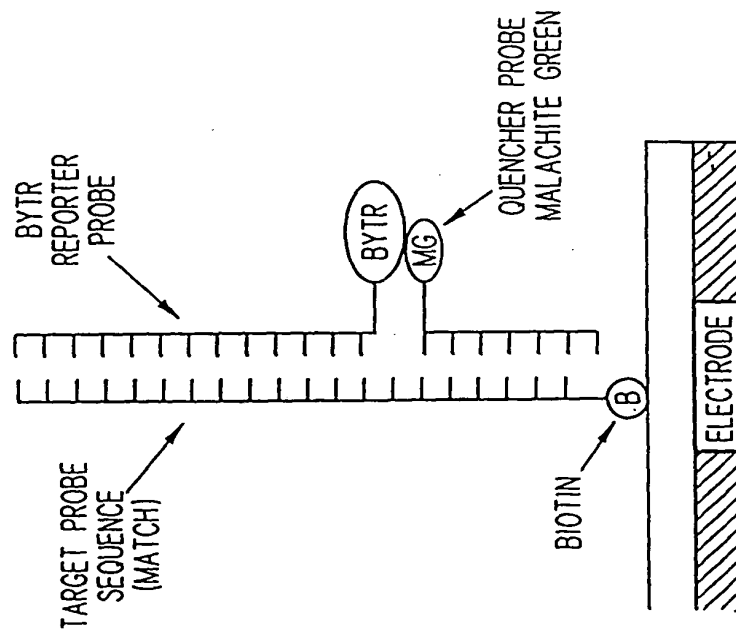


FIG. 10A

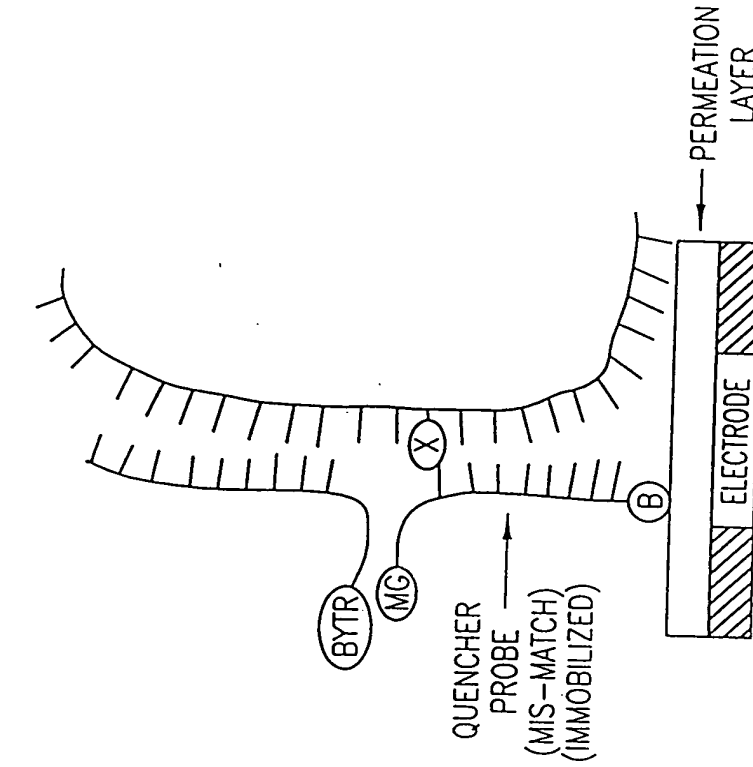


FIG. 11B

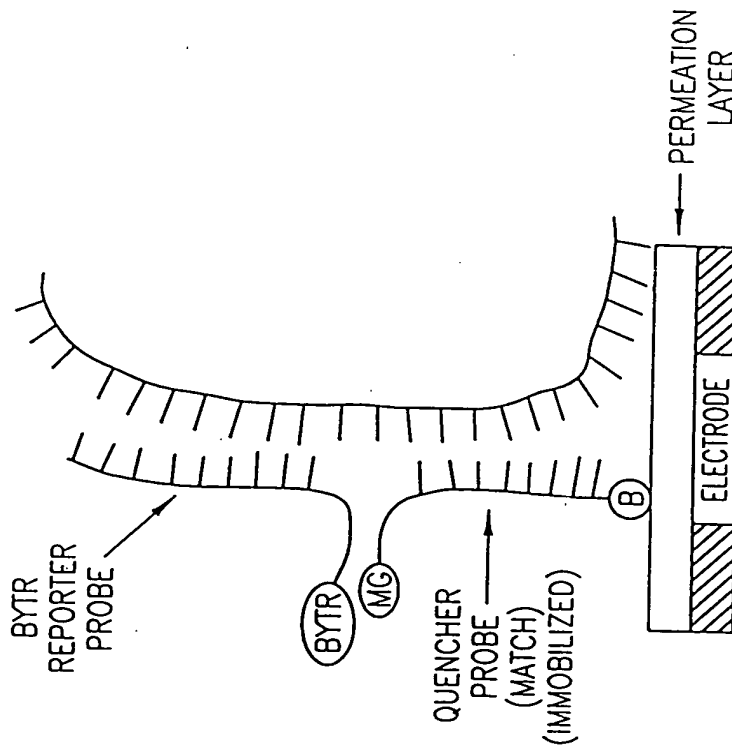


FIG. 11A

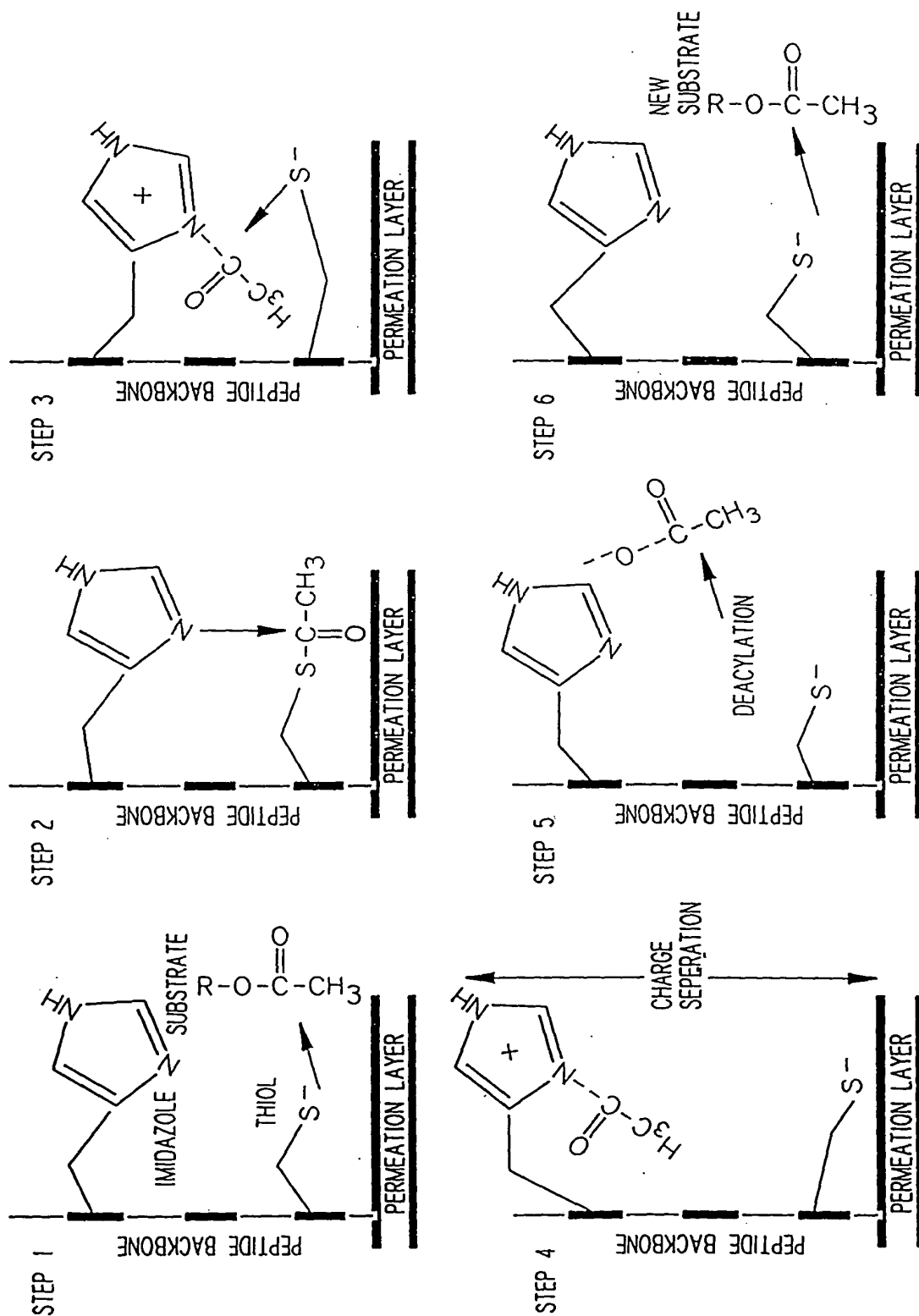


FIG. 12

POSITIVE BIAS PULSE